

การศึกษาสมบัติทางแร่ในดินเผาพื้นบ้านชุมชนโรงอ่าง จังหวัดปัตตานี
Study of Mineralogy, Chemical Composition and Physical Properties of Clays
from L°Cal Pottery Areas Rongang Community Pattani Province

สุนารี บดีพงศ์^{1*}, ปิยะ พ่านศึก¹, อภิญญา ศุกลรัตน์²

Sunaree Bordeepong^{1*}, Piya Phansuke¹, Apinya Sukolrat²

¹แผนกวิชาฟิสิกส์ ภาควิชาวิทยาศาสตร์ คณะวิทยาศาสตร์และเทคโนโลยี มหาวิทยาลัยสงขลานครินทร์ วิทยาเขตปัตตานี

²ศูนย์เครื่องมือวิทยาศาสตร์ มหาวิทยาลัยสงขลานครินทร์ วิทยาเขตหาดใหญ่

¹Physics Section, Department of Science, Faculty of Science and Technology,

Prince of Songkla University, Pattani Campus, Thailand

²Scientific Equipment Center, Prince of Songkla University, Hatyai Campus, Thailand

*Corresponding author. Tel.: 0 7331 2201, Email: sunaree.b@psu.ac.th

บทคัดย่อ

การศึกษาสมบัติทางแร่ในดินเผาชุมชนโรงอ่างจาก จ.ปัตตานี พบร่วมกับดินเหนียวส่วนใหญ่ประกอบด้วยแร่ควอตซ์ อิลลิต-เคลโอไลน์เต็มน้อย มี SiO_2 สูง ร้อยละ 47.68-58.36 รองลงมาเป็น Al_2O_3 ร้อยละ 24.11-26.94 Fe_2O_3 ร้อยละ 2.35-3.18 และ TiO_2 ร้อยละ 1.32-1.46 ดินขนาดเล็กกว่า 45 ไมโครเมตร ที่ผ่านตะแกรงขนาด 325 เมช พบรากที่สุดร้อยละ 61.94 เป็นอนุภาคที่มีความละเอียดทำให้ดินมีความเหนียว เมื่อเผาผลิตลงอย่างรวดเร็วในช่วงอุณหภูมิ 700-900 °C พบร่วมกับดินเผาที่มีขนาดเล็กน้อยเนื่องจากสูญเสียน้ำและอินทรีย์วัตถุก่อนเผาใหม่ การทดสอบดินเหนียวหลังเผาอุณหภูมิ 700-900 °C พบร่วมกับดินเผาที่มีขนาดตัวร้อยละ 5.10-7.95 ความหนาแน่นหลังเผา 1.69-1.71 กรัมต่อลูกบาศก์เซนติเมตร ความแข็งแรงหลังการเผาเท่ากับ 1.42-3.88 เมกะพาสคัล ดินเหนียวจากชุมชนโรงอ่างมีสมบัติสำหรับที่จะใช้เป็นวัตถุดิบผลิตภัณฑ์เครื่องปั้นดินเผาพื้นบ้าน โดยมีจุดเด่นตรงที่มีปริมาณ Al_2O_3 สูงเท่าที่จะนำไปทำผลิตภัณฑ์ทนไฟ ผลิตภัณฑ์หดตัวเล็กน้อยหลังการเผาอุณหภูมิ 900 °C จึงไม่เสียรูปทรงหรือบิดเบี้ยวแต่มีข้อเสียที่มีอนุภาคความตื้นขนาดใหญ่กว่า 300 ไมโครเมตร ปะอยู่ทำให้เนื้อดินหยาบ มีความพรุนสูงและความแข็งแรงน้อยหากปรับปรุงดินจะทำให้มีสมบัติดีขึ้น

คำสำคัญ: ดินเหนียว แร่ในดินเผา องค์ประกอบทางเคมี สมบัติทางกายภาพ

ABSTRACT

Mineralogical, chemical composition and ceramic properties of clay from l°Cal pottery area in Rongang community Pattani Province were studied to assess their potential for use. The majority of clay was quartz with slightly kaolinite and illite. High SiO₂ content (47.68-58.36%), Al₂O₃ (24.11-26.94%), Fe₂O₃ (2.35-3.18%) and TiO₂ (1.32-1.46%) was determined. Large amount of clay (61.94%) with the size less than 45 µm were passed sieve number of 325 mesh as the fine particles resulting to increase the clay toughness. It was found that weight was rapidly decreased in the temperature range of 700-900 °C, the weight decreases slightly due to the loss of water and organic matter. Testing of clay after fired at temperatures of 700-900 °C was found that the linear shrinkage were 5.10-7.95%. Densities were 1.69-1.71 g/cm³. Flexural strength of colcined samples were 1.42-3.88 MPa. Clay from Rongang community can use as raw materials l°Cal pottery with a high Al₂O₃ content suitable for refractory products. The product was slightly shrinkage after the temperature of 900 °C with non-deformation or distortion however, there were disadvantages with large quartz particles size higher than 300 µm resulting in rough texture, high porosity and less strength. Therefore, the quality of soil was improved, their properties will be also improved.

Keywords: Clay, Mineralogical, Chemical composition, Ceramic properties

1. บทนำ

เครื่องปั้นดินเผาเป็นผลิตภัณฑ์ที่ตั้งกระรัมไทยที่ผูกพันกับชีวิตคนไทยมายาวนาน เครื่องปั้นดินเผาพื้นบ้านจัดเป็นผลิตภัณฑ์เซรามิกแบบดั้งเดิม (Tradition ceramics) ชนิดอิฐเทินแวร์ (Earthen ware) ซึ่งใช้อุณหภูมิในการเผาไม่สูงมากอยู่ในช่วง อุณหภูมิ 800-1,150 °C [1] ได้แก่ อิฐ กระถาง โถ ฯลฯ ผลิตภัณฑ์เหล่านี้สามารถหาได้ในท้องถิ่น ราคานไม่แพง สามารถผลิตออกมานเป็นอุตสาหกรรมขนาดเล็กที่สามารถสร้างรายได้แก่ชาวบ้าน “โรงอ่าง” เป็นชุมชนเก่าแก่ ตั้งอยู่ใน ต. สะบารัง อ. เมือง จ. ปัตตานี แสดงดังภาพที่ 1 มีอายุประมาณ 100 ปี และมีการทำเครื่องปั้นดินเผา ที่มีชื่อเสียงมานาน โดยมีคำขวัญประจำชุมชนว่า “เรือกและหลากหลายสาย

ชา�다นีไหลผ่าน สะพานคู่กลางน้ำแหล่งทำอ่างอันเลื่องลือ” เป็นเครื่องบ่งชี้ถึงที่มาของชื่อ “ชุมชนโรงอ่าง” โดยผู้บุกเบิกคือชาวจีนที่อพยพมาตั้งถิ่นฐานสร้างโรงงานผลิตอ่างและเครื่องปั้นดินเผาริเวณแม่น้ำปัตตานีถ่ายทอดมาหลายชั่วอายุคนจนกลายเป็นสินค้าที่เป็นเอกลักษณ์ของชุมชนโรงอ่าง [2] ปัจจุบันโรงอ่างหรือโรงปั้นดินเผาแห่งนี้กำลังเลื่อนหายไปเหลือผู้ผลิตเพียง 1 ราย ที่ยังคงสืบต่อตระกูลและ ปัจจุบันซึ่งเป็นกิจการของตระกูลแซ่โน่ แต่ประสบปัญหาการขาดแคลนแรงงานเนื่องจากช่างทำอ่างเหลือน้อยมาก ผสมกับสถานการณ์ความรุนแรงทำให้ช่างไม่กล้ามาอยู่ที่ปัตตานี อีกทั้งแหล่งดินที่ใช้ทำผลิตภัณฑ์ ซึ่งเดิมจะนำดินที่ขุดมาจากที่ดินของ

ตนเองแต่ปัจจุบันนี้ไม่สามารถชุดได้ เพราะหน้าดิน เหนี่ยวน้ำมดแล้ว จึงต้องซื้อดินจาก นาข้าว ต.ปะกาหารัง อ.เมือง จ.ปัตตานี [3] สำนักงานพัฒนาชุมชน จ.ปัตตานี ได้ส่งเสริมให้เป็นสินค้าหนึ่งตำบลนึง ผลิตภัณฑ์ (OTOP) เนื่องจากมีจุดเด่นที่เป็นผลิตภัณฑ์ เครื่องปั้นดินเผาที่เดียวของจังหวัดปัตตานี แต่มี อุปสรรคคือไม่มีการตรวจสอบสมบัติของดินที่ นำมาใช้ทำผลิตภัณฑ์ การทำผลิตภัณฑ์จะทำจาก ประสบการณ์ที่ได้รับถ่ายทอดจากคนรุ่นเก่า ทำให้ คุณภาพของผลิตภัณฑ์ไม่สม่ำเสมอ ปัจจัยเหล่านี้ ส่งผลกระทบต่อการดำเนินอยู่ของภูมิปัญญาการทำ เครื่องปั้นดินเผาของชุมชนโรงอ่างเป็นอย่างมาก

คณะผู้วิจัยเล็งเห็นความสำคัญของการสืบ ทอดภูมิปัญญาของชาวบ้านชุมชนโรงอ่างจาก การค้นคว้าและตรวจสอบเอกสารพบว่า "ดินเหนี่ยว" มีบทบาทสำคัญในการแสดงลักษณะของผลิตภัณฑ์ เครื่องปั้นดินเผา เช่น การดูดซึมน้ำ ความแข็งแรง วัตถุประสงค์ที่ใช้คือดินเหนี่ยวที่หาได้ในท้องถิ่นมีสาร

อื่น ๆ ประปนอยู่ด้วย เช่น ทราย อินทรีย์วัตถุ สมบัติ ของดิน จะขึ้นกับธรรมชาติและสัดส่วนของสิ่งเจือปน งานวิจัยนี้จึงจำเป็นต้องศึกษาถึงโครงสร้าง และสมบัติต่าง ๆ ของดินดังนี้ สมบัติทางแร่วิทยา (Mineralogy) องค์ประกอบทางเคมี (Chemical composition) และสมบัติทางกายภาพ (Physical properties) เพื่อเป็นแนวทางในการปรับปรุง คุณภาพเนื้อดิน และควบคุมประสิทธิภาพการผลิต ผลิตภัณฑ์เครื่องปั้นดินเผาให้มีคุณภาพตามมาตรฐาน และสามารถใช้กระบวนการทางวิทยาศาสตร์ในการตรวจสอบคุณภาพได้อย่างมีประสิทธิภาพ เพื่อ ส่งเสริมและอนุรักษ์ให้งานหัตกรรมเครื่องปั้นดินเผา ของชุมชนโรงอ่างดำเนินอยู่ต่อไป

2. วัสดุ อุปกรณ์ และวิธีการทดลอง

2.1 วิธีเก็บตัวอย่างดินเหนี่ยว

2.1.1 จุดเก็บตัวอย่างดิน ต.ลิปะสะโง อ.หนองจิก จ.ปัตตานี พิกัด $6^{\circ}47'32.1"N$ $101^{\circ}14'05.7"E$ แสดงดังภาพที่ 1



ภาพที่ 1 แสดงที่ตั้งของชุมชนโรงอ่าง ต.ลิปะสะโง และจุดเก็บตัวอย่าง ต.ปะกาหารัง จ.ปัตตานี
ที่มา: ดัดแปลงจาก Google map [4]

2.1.2 ขุดหน้าดินลึกประมาณ 50 cm ออกและขุดเอาหน้าดินเนี้ยวยความลึกประมาณ 1 m พื้นที่ในการเก็บตัวอย่าง แสดงดังภาพที่ 1

2.1.3 นำดินมาเก็บไว้เพื่อเตรียมเป็นเนื้อดินปั้น แสดงดังภาพที่ 2



ภาพที่ 1 ลักษณะพื้นที่เก็บตัวอย่าง



ภาพที่ 2 ตัวอย่างดินเนี้ยวยที่เก็บได้

2.2. การเตรียมชิ้นทดสอบตัวอย่างดิน

2.2.1 นำตัวอย่างดินแข็งๆประมาณ 2 คีนในกระบวนการสีเหลี่ยมผึ้งผ้าที่ทำด้วยไม้ แสดงดังภาพที่ 3



ภาพที่ 3 กระบวนการเก็บตัวอย่างดิน

2.2.2 ใช้เครื่องนวดดิน 2 ครั้ง แสดงดังภาพที่ 4



ภาพที่ 4 เครื่องนวดตัวอย่างดิน

2.2.3 ใช้คลอดเหล็กบาง ๆ สับดินให้เป็นแวร์เล็ก ๆ เพื่อคัดเมล็ดทราย ก้อนกรวด และดินที่ยังจับกันเป็นก้อนออก

2.2.4 ขี้นรูป $1.5 \times 1.5 \times 12 \text{ cm}^3$

2.3. เครื่องมือที่ใช้ทดสอบ

2.3.1 เทคนิคการเลี้ยวเบนรังสีเอกซ์ (X-ray diffraction, Philips, XRD), รุ่น X Pert MPD ประเทศเนเธอร์แลนด์ ใช้ศึกษาชนิดของแร่ในดิน ช่วงการทดสอบ $2\theta = 5-50^\circ \text{ CuK}\alpha (\lambda = 1.54 \text{ \AA})$

2.3.2 กล้องจุลทรรศน์อิเล็กตรอนแบบส่องกราด (Scanning electron microscope, SEM) รุ่น JSM-5800, JEOL ประเทศญี่ปุ่น ใช้ศึกษารูปร่างขนาดของอนุภาคดิน และองค์ประกอบทางเคมี

2.3.3 ชุดวิเคราะห์ความร้อนโน้มล่วง (Thermo gravimetric analysis, TGA), Perkin รุ่น TGA 7, Perkin Elmer ประเทศสหรัฐอเมริกา ใช้ทดสอบค่า LOI บรรยายกาศการเผาแก๊สออกซิเจน heating rate 10°C/min

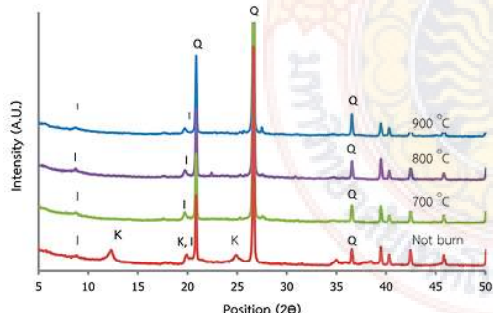
2.4 วิธีการทดสอบสมบัติกายภาพ

สี ขนาดและการกระจายอนุภาคของเนื้อดินด้วยวิธี Wet sieve ตามมาตรฐาน ASTM C 325-81 [5] การทดสอบตามมาตรฐาน ASTM C 326-03 [6], การดูดซึมน้ำหลังเผา และความหนาแน่นรวมตามมาตรฐาน ASTM C 373-88 [7,8]

3. ผลการทดลองและอภิปรายผล

3.1 แร่ในดินเหนียว

ก่อนและหลังการเผาอุณหภูมิ 700°C 800°C และ 900°C เมื่อทดสอบด้วย XRD ดินเหนียวก่อนการเผาจะมีส่วนประกอบของแร่ Quartz (SiO_2) Illite ($2\text{K}_2\text{O} \cdot 3\text{MgO} \cdot \text{Al}_2\text{O}_3 \cdot 24\text{SiO}_2 \cdot 12\text{H}_2\text{O}$) และ Kaolinite ($\text{Al}_2(\text{Si}_2\text{O}_5)(\text{OH})_4$) ในดินหลังการเผาจะพบแร่ Quartz และ Illite แต่ไม่พบ Kaolinite เนื่องจากเกิดการหลอมตัวเมื่อได้รับความร้อน แสดงดังภาพที่ 5



ภาพที่ 5 ผลการวิเคราะห์ XRD ของแร่ในดินเหนียว
I=Illite K=Kaolinite และ Q=Quartz

เนื่องจาก kaolinite เมื่อเผาจนอุณหภูมิถึง 450°C กลุ่ม OH^- ถูกขัดออกโครงสร้างผลึก และเรียงตัวใหม่เป็น Metakaolin ซึ่งเป็นกลุ่มอะตอมที่มีโครงสร้างไม่เป็นระเบียบ หลังการเผาจึงไม่สามารถตรวจพบรด้วย XRD [9]

3.2 การศึกษาทางความร้อนด้วย TGA

เมื่อเริ่มเพาเวลจะลดลงอย่างรวดเร็วจนถึง อุณหภูมิที่ $700 - 900^{\circ}\text{C}$ มวลจะลดลงเล็กน้อยแสดงดังภาพที่ 6

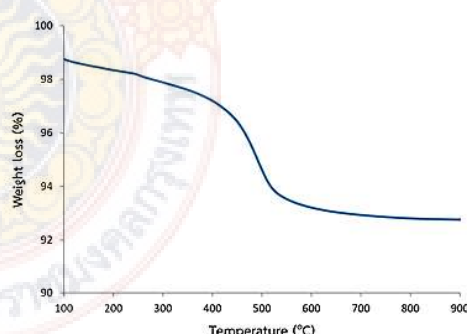
มวลที่ลดลงสามารถอธิบายได้ดังนี้

อุณหภูมิ $100-200^{\circ}\text{C}$: น้ำรอบ ๆ อนุภาคดินจะระเหยเป็นไอ

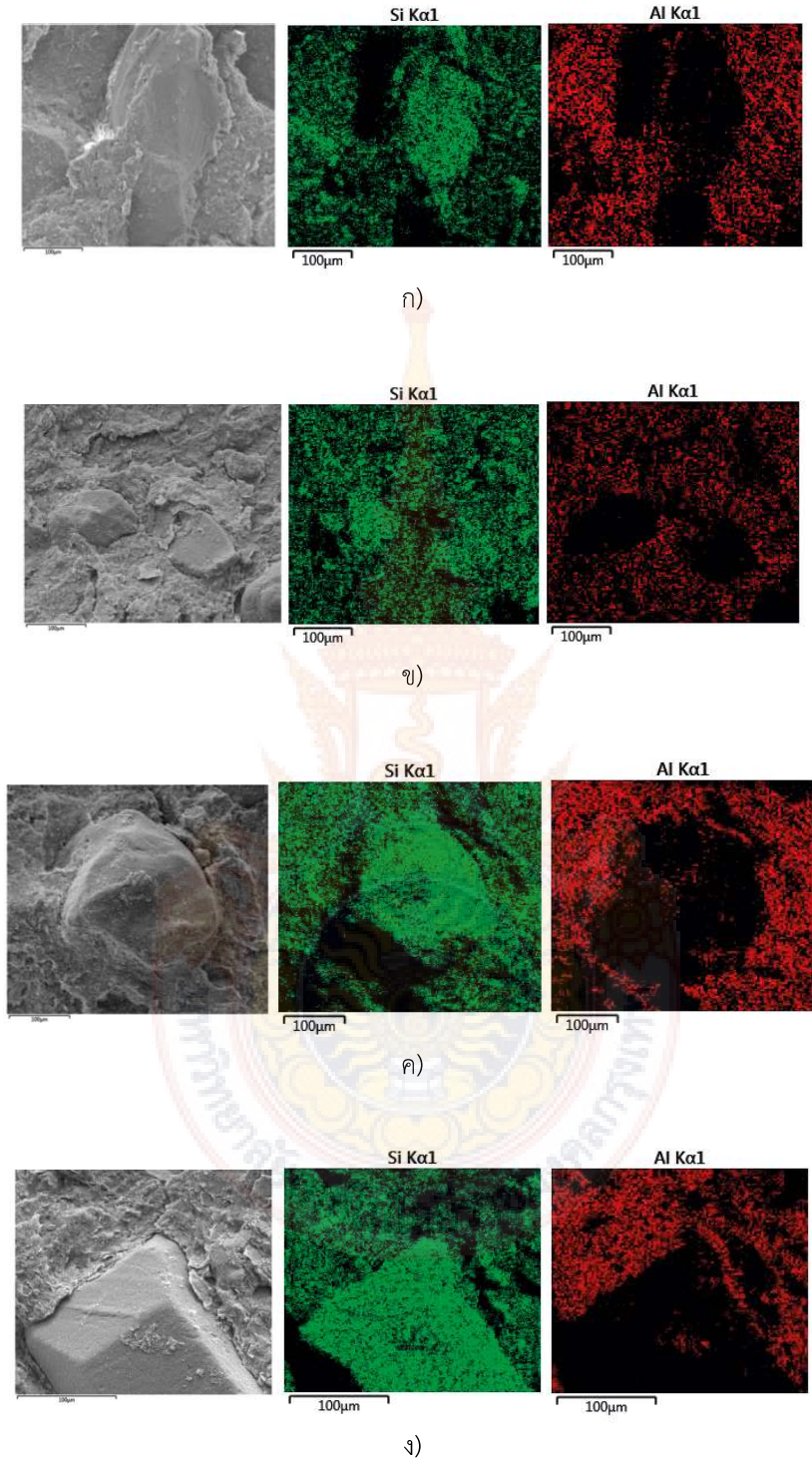
อุณหภูมิ 450°C : น้ำที่เป็นส่วนประกอบทางเคมีในเนื้อดินเริ่มระเหย $\text{Al}_2\text{O}_3 \cdot 2\text{SiO}_2 \cdot 2\text{H}_2\text{O}$

อุณหภูมิ $500-600^{\circ}\text{C}$: น้ำที่เป็นส่วนประกอบทางเคมีถูกเผาหมด อินทรีย์สารในดินเริ่มถูกเผาไหม้

อุณหภูมิสูงกว่า 800°C : อินทรีย์สารถูกเผาไหม้หมดไป [1]



ภาพที่ 6 กราฟความสัมพันธ์ระหว่างน้ำหนักดินเหนียวกับอุณหภูมิ



ภาพที่ 7 ภาพถ่าย SEM และ SEM-Mapping ของตินเนียมฯ ก) ท่อนการเผา ข) 700 °C ค) 800 °C ง) 900 °C

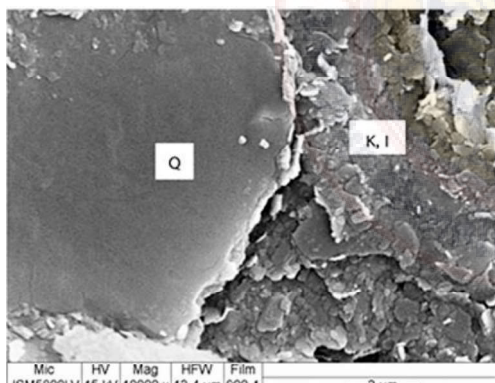
3.3 SEM-Mapping

จากการวิเคราะห์ดินเหนียวก่อนและหลังการเผาด้วยเทคนิค SEM-Mapping แสดงตั้งภาพที่ 7

SEM- Mapping ในส่วนที่เป็นก้อนพบรากุ Si แต่ในบริเวณเดียวกันไม่พบรากรากุ Al และแสดงว่าบริเวณดังกล่าวเป็น Quartz (SiO_2) ขนาด $\sim 100 \mu\text{m}$ หรือใหญ่กว่า กระจายอยู่ในชั้นตัวอย่างแม้จะผ่านการเผาที่อุณหภูมิ 700, 800 และ 900 °C ก็ไม่หลอมรวมกับตัวอย่าง ทำให้การดูดซึมน้ำสูง (20.96%) และความแข็งแรงน้อย (3.88 MPa) และบริเวณรอบ ๆ Quartz เป็น Kaolinite ($\text{Al}_2(\text{Si}_2\text{O}_5)(\text{OH})_4$) และ Illite ($2\text{K}_2\text{O} 3\text{MgO} \text{Al}_2\text{O}_3 24\text{SiO}_2 12\text{H}_2\text{O}$) พบรากุ Si และ Al ปราศจากอยู่ในบริเวณเดียวกัน ดังภาพที่ 8

3.4 การศึกษาปร่างดินเหนียวด้วย SEM

จากการภาพถ่าย SEM ดังภาพที่ 9 และ SEM-Mapping ดังภาพที่ 8 ดินเหนียวมีลักษณะเป็นแผ่นเล็ก ๆ และเป็นก้อนมาเกะรุมกัน ส่วนที่เป็นก้อนใหญ่เป็นแร่ Quartz [10] และส่วนที่มีลักษณะเป็นแผ่นเป็น Kaolinite และ Illite [10,11]



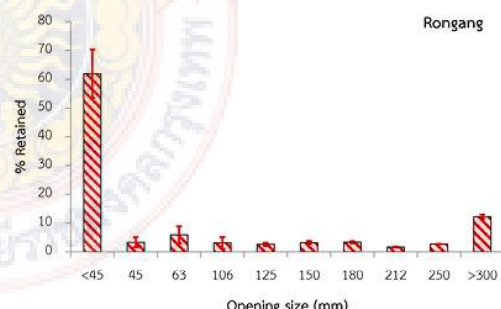
ภาพที่ 8 ภาพถ่าย SEM ของดินเหนียวก่อนเผา

3.5 รัตโนดินเหนียวด้วย SEM-EDX

ในตารางที่ 1 เป็นการวิเคราะห์องค์ประกอบรัตโนดินเหนียวด้วย SEM-EDX ให้ผลสอดคล้องกับผลทดสอบ XRD พบว่า SiO_2 และ Al_2O_3 เป็นองค์ประกอบหลักโดย SiO_2 พบรากุ 47.68-58.36% Al_2O_3 24.11-26.94% และ K_2O 0.08-1.03% ซึ่งเป็นองค์ประกอบใน Quartz (SiO_2) Kaolinite ($\text{Al}_2(\text{Si}_2\text{O}_5)(\text{OH})_4$) และ Illite ($2\text{K}_2\text{O} 3\text{MgO} \text{Al}_2\text{O}_3 24\text{SiO}_2 12\text{H}_2\text{O}$) นอกจากนี้ยังพบ Fe_2O_3 2.35-3.18% ทำให้ดินมีสีน้ำตาลแดง ส่วน TiO_2 1.32-1.46% ปนอยู่ในตัวอย่างเล็กน้อยซึ่งไม่สามารถตรวจพบได้ด้วย XRD เนื่องจากมีอยู่ปริมาณน้อยมาก

3.6 การกระจายขนาดดินวิธี Wet sieve

จากการคัดขนาดด้วยวิธี Wet sieve พบว่าดินเหนียวที่มีขนาดเล็กกว่า 45 μm มีปริมาณมากที่สุดถึง 61.94% ทำให้ดินมีความสามารถซึ่งรูปได้ และพบดินเหนียวที่มีขนาดใหญ่กว่า 300 μm รองลงมาปริมาณ 12.22% ซึ่งเป็นอนุภาคขนาดใหญ่ทำให้เนื้อดินหยาบและมีรูพรุนสูง แสดงดังภาพที่ 9



ภาพที่ 9 ผลการเปรียบเทียบขนาดรูเปิดและมวลที่ค้างตะกรัง

ตารางที่ 1 ผลการวิเคราะห์องค์ประกอบธาตุในดินเหนียวด้วยเทคนิค SEM-EDX

Analyzed	Concentration (Weight %)							
	Unfired		700 °C		800 °C		900 °C	
	Average	SD	Average	SD	Average	SD	Average	SD
MgO	0.46	0.05	0.50	0.10	0.45	0.05	0.50	0.03
Al ₂ O ₃	25.30	0.76	26.94	2.23	24.11	4.80	26.81	1.49
SiO ₂	47.68	0.92	55.92	2.99	58.36	6.95	54.57	2.14
K ₂ O	0.89	0.03	1.03	0.09	0.90	0.18	0.99	0.08
TiO ₂	1.32	0.11	1.32	0.14	1.32	0.26	1.46	0.37
Fe ₂ O ₃	2.35	0.18	3.18	1.01	2.53	0.57	2.82	0.51

3.7 การหดตัวเชิงเส้น (Linear shrinkage)

ในภาพที่ 11 ดินเหนียวจะมีการเปลี่ยนแปลงขนาดหลังจากการอบแห้ง เนื่องจากน้ำที่อยู่ระหว่างอนุภาคหลังขึ้นรูป ได้ระหว่างออกไประบุกของดินจะเข้ามาชิดกันทำให้ตัวอย่างหดตัว มีผลทำให้ตัวอย่างเสียรูปทรง หรือโค้งงอ [1]

ในดินจะเกิดการสลายตัวและเรียกว่าห่ำทำให้ออนุภาคซิดกันมากขึ้นเป็นผลทำให้ขนาดเล็กลงขึ้นกับชนิดของแร่ ความละเอียดหากมีการหดตัวมากอาจทำให้ขึ้นตัวอย่างถึงองศา และเกิดการแตกหักได้ [1]

3.8 การดูดซึมน้ำ (Water absorption) และความหนาแน่นรวม (Bulk density)

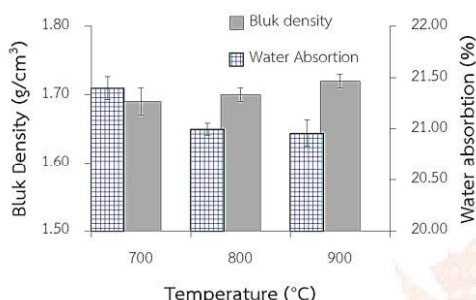
การดูดซึมน้ำหลังการเผา แสดงดังภาพที่ 11 พบว่าที่อุณหภูมิ 700 °C มีค่าเป็น $21.40 \pm 0.11\%$, 800 °C มีค่าเป็น $21.00 \pm 0.06\%$ และที่อุณหภูมิ 900 °C มีค่าเป็น $20.96 \pm 0.13\%$ เมื่อการดูดซึมน้ำสูงเป็นผลทำให้รูพรุนในชิ้นงานมีจำนวนมาก ส่วนการวัดความหนาแน่นจะวัดรวมทั้งก้อน ซึ่งรวมช่องว่างระหว่างชิ้นงาน ที่อุณหภูมิ 700 °C มีค่าเป็น $1.69 \pm 0.02 \text{ g/cm}^3$, 800 °C มีค่าเป็น $1.70 \pm 0.01 \text{ g/cm}^3$ และที่อุณหภูมิ 900 °C มีค่าเป็น $1.72 \pm 0.01 \text{ g/cm}^3$ ผลจากความหนาแน่นสามารถนำไปคำนวณหาค่าความพรุนตัวของชิ้นงานได้ดังนี้ ที่อุณหภูมิ 700 °C มีค่าเท่ากับ $36.27 \pm 0.11\%$, 800 °C มีค่าเท่ากับ $35.95 \pm 0.08\%$ และ 900 °C มีค่าเท่ากับ $35.63 \pm 0.79\%$ และหลังการเผาตัวอย่างจะมีความพรุน (Porosity) ลดลงเล็กน้อยแสดงว่าเมื่ออุณหภูมิสูงขึ้นวัตถุดิบบางชนิดถึงจุดหลอมตัว



ภาพที่ 10 กราฟความสัมพันธ์ระหว่างอุณหภูมิกับการหดตัวเชิงเส้นก่อนและหลังการเผา (700-900 °C)

จากการทดสอบการหดตัวเชิงเส้นก่อนการเผา มีค่าเป็น $5.10 \pm 0.54\%$ หลังการเผา 700 °C มีค่าเป็น $6.02 \pm 0.29\%$ หลังการเผา 800 °C มีค่าเป็น $6.54 \pm 0.42\%$ และหลังการเผา 900 °C มีค่าเป็น $7.95 \pm 0.55\%$ หลังจากที่ดินแห้งแล้วเมื่อนำมาเผาจะหดตัวอีกครั้งเนื่องจากสารอินทรีย์ น้ำ และแร่

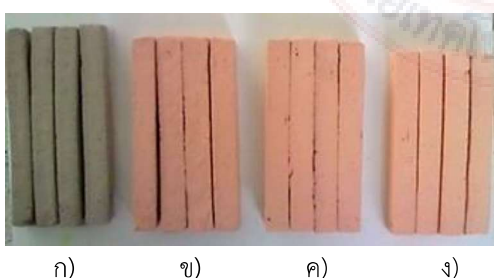
มีการหลอมละลายของแร่มาปิดรูพรุนในเนื้อดินแต่ยังมีค่าค่อนข้างสูง (35.63-36.27%) เนื่องจากตัวหลอมละลายในเนื้อดินมีน้อย [9] สังเกตได้จากผลการทดสอบองค์ประกอบธาตุในดินเหนียว พบ K2O เพียง 0.89-1.03% เท่านั้น การดูดซึมน้ำมีค่าลดลงเล็กน้อย เมื่อเพิ่มอุณหภูมิที่สูงขึ้นจะสอดคล้องกับค่าความหนาแน่นซึ่งเพิ่มขึ้นเล็กน้อยเมื่ออุณหภูมิสูงขึ้น



ภาพที่ 11 ความสัมพันธ์ระหว่างความหนาแน่น การดูดซึมน้ำ กับอุณหภูมิหลังการเผา

3.9 สีของดินตัวอย่างก่อนและการหลังเผา

สีของดินก่อนและการหลังการเผาดังภาพที่ 12 พบว่าดินเหนียวก่อนเผามีสีเทา หลังการเผา 700°C เป็นสีน้ำตาลเข้ม 800°C สีน้ำตาล และ 900°C สีน้ำตาลอ่อน จึงแนะนำสมสำหรับเป็นวัตถุดินใน การผลิตผลิตภัณฑ์หัตถกรรมเครื่องปั้นดินเผาพื้นบ้าน ที่ต้องการสีธรรมชาติ



ภาพที่ 12 สีของตัวอย่างดิน ก) ตัวอย่างแห้ง ข) เผา 700°C ค) เผา 800°C ง) เผา 900°C

3.10 ความเหนียวของดิน

ผลการศึกษาความเหนียวของดินแสดงดังตารางที่ 2 พบว่าดินเหนียวจะมีค่าบริมาณน้ำมากสุดที่ทำให้ดินสามารถรวมตัวเป็นก้อนไม่หลีเป็นของเหลว Liquid limit (LL) 27.81% และปริมาณน้ำน้อยที่สุดที่ทำให้ดินสามารถยึดกันเป็นก้อนได้ Plastic limit (PL) คือ 14.54% สามารถคำนวณค่าความเหนียวของดินได้ Plasticity index (PI) คือ 13.26%

ตารางที่ 2 ผลการศึกษาความเหนียวของดินโรงอ่าง

Test	Average (%)	SD (%)
Liquid Limit (LL) %	27.81	0.84
Plastic Limit (PL) %	14.54	1.02
Plasticity Index (PI) %	13.26	1.28

3.11 ความแข็งแรงต่อแรงดึง (Modulus of Rupture: MOR)

ค่า MOR ของดินเหนียวก่อนและการหลังการเผาแสดงดังตารางที่ 3 พบว่าอุณหภูมิการเผาสูงขึ้นค่าความแข็งแรงจะเพิ่มขึ้น

ตารางที่ 3 ผลการวิเคราะห์ความแข็งแรงของดินก่อนเผาและการหลังการเผา

Test	Unfired	Fired (°C)		
		700	800	900
MOR (MPa)	1.42	2.23	2.93	3.88
SD	0.14	0.30	0.21	0.75

3.12 การเปรียบเทียบผลการวิจัยกับงานวิจัยอื่น และมาตรฐาน มอก./มพช.

การเปรียบเทียบของค่าประกอบทางเคมีในดินเหนียวจากงานวิจัยแหล่งอื่นในประเทศไทยแสดงในตารางที่ 4 พบว่า ดินเหนียวโรงอ่างมี Al_2O_3 สูงกว่าแหล่งอื่นเป็นผลดี เพราะชั้นงานจะมีความทนไฟแต่มีปริมาณ SiO_2 น้อยกว่าแหล่งอื่น ๆ การทดสอบจากตารางที่ 5 ต่ำกว่าแหล่งอื่น ๆ เป็นผลดี เพราะชั้นงานจะไม่เสียรูปหรือแตกหักหลังเผา ร้อยละของลิทินที่หายไปหลังการเผา (LOI) จากตารางที่ 4 มีค่าใกล้เคียงกับแหล่งดินอื่น ๆ และมีค่าน้อย (<15%) หลังเผาอุณหภูมิ $700-900^{\circ}\text{C}$ ดินมีการทดสอบน้อย (6.02-7.95%)

แต่การดูดซึมน้ำมีค่าสูงกว่าแหล่งอื่น ๆ จากตารางที่ 6 (21.11-21.26%) และความแข็งแรงจากตารางที่ 8 มีค่าต่ำกว่าดินจากแหล่งอื่น ๆ และมาตรฐาน มอก./มพช. เนื่องจากมีแร่ Quartz ขนาดใหญ่ ($\varnothing >300 \mu\text{m}$) ปนอยู่ และมี Kaolinite อยู่น้อย สังเกตได้จากตารางที่ 7 มีปริมาณดินที่ค้างตะกรงขนาด 325 mesh เพียง 3% หากต้องการปรับปรุงให้ดีขึ้นต้องทำการร่อน Quartz ขนาดใหญ่ออกไป หรือใช้ทำผลิตภัณฑ์ที่ไม่ต้องการความแข็งแรงมาก

โดยชื่อย่อดินในตารางต่าง ๆ มาจากงานวิจัยแหล่งดินในประเทศไทยดังภาคผนวก

ตารางที่ 4 การเปรียบเทียบของค่าประกอบทางเคมีในดินกับงานวิจัยอื่น [12]

Analyzed	C01	C02	C04	C05	C07	C08	Research
MgO	0.65	1.03	0.78	1.20	1.15	1.30	0.46
Al_2O_3	17.74	18.49	21.04	20.08	15.18	15.18	25.30
SiO_2	66.60	64.23	63.85	60.67	60.67	60.67	47.68
K_2O	0.74	2.24	2.20	2.23	3.12	3.12	0.89
TiO_2	1.08	0.95	0.95	0.89	1.18	1.18	1.32
Fe_2O_3	3.63	3.67	2.74	6.54	7.61	7.61	2.35
LOI	9.23	7.19	7.93	7.63	-	-	7.24

ตารางที่ 5 การเปรียบเทียบการทดสอบตัวเมื่อแห้งและหลังเผากับงานวิจัยอื่น [12]

Clay	C09	C10	C03	C11	Research
Drying Linear shrinkage (%)	8.19	9.44	7.25	4.68	5.1
Firing linear shrinkage (%)	13.20	13.80	12.60	7.22	6.02-7.95

ตารางที่ 6 การเปรียบเทียบการดูดซึมน้ำหลังเผากับงานวิจัยอื่นและค่ามาตรฐาน [12-15]

clay	C09	C03	C12	Research	มอก. (601/2546)	มพช. (46/2556)
Absorption (%)	5.93	11.82	9.23	21.11-21.26	<8%	<8%

ตารางที่ 7 การเปรียบเทียบขนาดการกระจายของเนื้อดินกับงานวิจัยอื่น [12]

Clay	C06	C02	C09	C10	C13	Research
Retained weight 325 mesh (%)	5	6	6.93	9.33	12	3.10

ตารางที่ 8 การเปรียบเทียบความแข็งแรงของดินก่อนเผาและหลังเผากับงานวิจัยอื่น [13]

Clay	C15±SD	C14±SD	C16±SD	C17±SD	Research±SD
ก่อนเผา MOR (MPa)	2.48±0.20	4.05±1.45	3.22±0.21	2.38±0.20	1.42±0.14
หลังเผา 800 °C (MPa)	2.31±0.14	5.56±1.48	3.79±0.21	2.03±0.28	2.93±0.21

4. สรุปผลการทดลอง

จากการทดลองสอบสวนติดทางแร่ วิทยาองค์ประกอบทางเคมี และสมบัติทางกายภาพของดินเหนียว จากชุมชนโรงอ่าง ต. สะบารัง อ.เมือง จ.ปัตตานี และทดลองเผาที่อุณหภูมิ 700-900 °C ดินเหนียวจากชุมชนโรงอ่างมีสมบัติสำหรับเหมาะสมที่จะใช้เป็นวัตถุดิบผลิตภัณฑ์เครื่องปั้นดินเผาพื้นบ้านที่ต้องการสีธรรมชาติ โดยมีจุดเด่นตรงที่มีปริมาณ Al_2O_3 สูงเหมาะสมที่จะนำไปทำผลิตภัณฑ์ที่ไม่ต้องการรูพรุนแต่คุณสมบัติสีสันน้ำเงิน จากการทดลองสามารถเผาได้ถึงอุณหภูมิ 900 °C โดยผลิตภัณฑ์หดตัวเพียงเล็กน้อย จึงไม่เสียรูปทรงหรือบิดเบี้ยวแต่มีข้อเสียที่มีอนุภาคความตัวซึ่งขนาดใหญ่กว่า 300 μm ปนอยู่ทำให้เนื้อดินหยาบมีความพรุนสูงและความแข็งแรงน้อยหากปรับปรุงดินจะทำให้มีสมบัติดีขึ้น

5. กิจกรรมประการ

งานวิจัยนี้ได้รับการสนับสนุนจากกองทุนวิจัยวิทยาเขตปัตตานี มหาวิทยาลัยสงขลานครินทร์

6. อ้างอิง

- [1] เพจิตร อิงคิริวัฒน์. เนื้อดินเซรามิก กรุงเทพฯ: สำนักพิมพ์โอดี้นสโตร์; 2541.

- [2] บุญิตานี. ตรรกะกลแห่ง: ครอบครัวสุดท้ายที่ปั้นอ่างคู่เมืองปัตตานี. [อินเทอร์เน็ต]. ปัตตานี; 2551 [เข้าถึงเมื่อ 29 พ.ค. 2558]. จาก: http://commsci.pn.psu.ac.th/commsci/we_b_bumee/index.php.
- [3] ตามไปดูโรงปั้นดินเผารดกประวัติศาสตร์หนึ่งเดียวชุมชนโรงอ่างปัตตานี. [อินเทอร์เน็ต]. สำนักข่าวอามานา; 2553 [เข้าถึงเมื่อ 10 ต.ค. 2558]. จาก: <http://thai.amannews.org/view/view.php?id=729>.
- [4] Google. [Internet]; 2018 [cited 2018 Nov 22]. Available from: <https://www.google.com/maps/>.
- [5] ASTM Committee on Standards. Standard Test Method for Wet Sieve Analysis of Ceramic Whiteware Clay West Conshohocken: Annual Book of ASTM Standards. West Conshohocken: Astm Intl; 1997.
- [6] ASTM Committee on Standards. Standard Test Method for Drying and Firing Shrinkages of Ceramic Whiteware Clays West Conshohocken: Annual Book

- of ASTM Standard. West Conshohocken: Astm Intl; 2003.
- [7] ASTM Committee on Standards. Standard Test Method for Water Absorption, Bulk Density, Apparent Porosity and Apparent Specific Gravity of Fired Whiteware Product West Conshohocken: Annual Book of ASTM Standards. West Conshohocken: Astm Intl; 1999.
- [8] เชษฐ์ อุทธิยং, วชรินทร์ สิทธิเจริญ, นพชัย พัสดี. การพัฒนากระบวนการผลิตหลังค่าด้วยวัสดุธรรมชาติคอมโพสิต. *การสารวิจัย มทร. กรุงเทพ.* 2017; 11(2):69-78.
- [9] ปรีดา พิมพ์ขาวขำ. เซรามิกส์. กรุงเทพฯ: สำนักพิมพ์แห่งจุฬาลงกรณ์มหาวิทยาลัย; 2547.
- [10] Sengupta P, Saikia PC, Borthakur PC. SEM-EDX characterization of an iron-rich kaolinite clay. *Am J Sci Ind Res.* 2008; 67(10):812-8.
- [11] Bohor BF, Hughes RE. Scanning electron microscope of clays and clay mineral. *Clay Clay Miner.* 1971; 19:49-54.
- [12] ฤทธิ นิยมรัตน์, สมเกียรติ กอบบัวแก้ว, ไสว ศิริทองถาวร. รายงานผลการดำเนินโครงการบริการวิชาการ โครงการอบรมปฏิบัติการสร้างงานเซรามิกจากดินเหนียวท้องถิ่น. กรุงเทพฯ: มหาวิทยาลัยราชภัฏสวนสุนันทา; 2558.
- [13] ศิริรัตน์ รัตนจันทร์, จรัสศรี ลอบะยูร, สุวรรณศรีหล่อมศักดิ์. การศึกษาคุณภาพดินในจังหวัดนครราชสีมาเพื่อใช้ในงานด้านเซรามิก. นครราชสีมา: มหาวิทยาลัยเทคโนโลยีสุรนารี; 2545.
- [14] สำนักงานมาตรฐานผลิตภัณฑ์อุตสาหกรรม กระทรวงอุตสาหกรรม. มาตรฐานผลิตภัณฑ์อุตสาหกรรม ภาชนะเซรามิกที่ใช้กับอาหาร: เอ่อร์เทนแวร์. มอก. 601-2546; 2546.
- [15] สำนักงานมาตรฐานผลิตภัณฑ์อุตสาหกรรม กระทรวงอุตสาหกรรม. มาตรฐานผลิตภัณฑ์ชุมชน เครื่องปั้นดินเผาเอ่อร์เทนแวร์. มผช. 46/2556; 2556.

7. ภาคผนวก

ชื่อย่อติดในตารางที่ 4-8 จากงานวิจัยเหล่า
ดินในประเทศไทย

C01: บ้านหม้อ ต.เขวา อ.เมือง จ.มหาสารคาม

C02: บ้านสทิงหม้อ ต.สทิงหม้อ อ.สิงหนคร
จ.สิงค์คลา

C03: บ้านบ่อขาด ต.ป่าขาด อ.สิงหนคร จ.สิงค์คลา

C04: บ้านศาลาปู ต.ปากพูน อ.เมือง จ.นครศรี
ธรรมราช

C05: บ้านทุ่งน้ำเค็ม ต.โนมคลาน อ.ท่าศาลา
จ.นครศรีธรรมราช

C06: บ้านศาลาบางปู อ.เมือง จ.นครศรีธรรมราช

C07: บ้านบาล จ.พระนครศรีอยุธยา

C08: บ้านบางปะหัน จ.พระนครศรีอยุธยา

C09: บ้านท่าไฟ อ.เขื่องใน จ.อุบลราชธานี

C10: บ้านโพนทราย ต.หนองบัว อ.กันทรารามย์
จ.ศรีสะเกษ

C11: บ้านคงเปื้อย จ.สุรินทร์

C12: บ้านทะเลแก้ว ต.ปลายชุมพล อ.เมือง
จ.พิษณุโลก

C13: ม่อนเขาแก้ว ต.พิชัย อ.เมือง จ.ลำปาง

C14: ตินเนียนyiwtànamเกวียน อ.โขคชัย จ.นครราชสีมา

C15: ตินทรายด่านเกวียน อ.โขคชัย จ.นครราชสีมา

C16: ตินขาว ในเขตมหาวิทยาลัยเทคโนโลยีสุรนารี
จ.นครราชสีมา

C17: ตินจักราช อำเภอจักราช จ.นครราชสีมา